

КРАТКИЕ СООБЩЕНИЯ

УДК 539.186.2 : 546.292

СЕЧЕНИЯ ВОЗБУЖДЕНИЯ
МЕТАСТАБИЛЬНЫХ СОСТОЯНИЙ АТОМА НЕОНА
ЭЛЕКТРОННЫМ УДАРОМ

А. А. Митюрева и Н. П. Пенкин

Возбуждение метастабильных состояний атомов и ионов электронным ударом гораздо менее изучено по сравнению с излучающими состояниями, что связано с экспериментальными трудностями измерения концентраций метастабильных частиц. В [1] показано, что перспективным методом исследования метастабилей является оптический метод поглощения. Мы использовали его для определения сечений и функций возбуждения метастабильных 3P_2 и 3P_0 уровней атома неона. Измерения проводились на установке с электронным пучком (ток пучка $i < 500$ мкА), возбуждающим атомы в метастабильные состояния в кювете с неоном при давлении его $P = (4-6) \cdot 10^{-2}$ мм рт. ст. Конструкция трубки возбуждения и электронной пушки подобны использованным нами ранее и описанным, например, в [2, 3]. Поглощение регистрировалось по относительному ослаблению светового потока от лампы с полым катодом в трубке возбуждения. Оно измерялось на линиях 6402 и 6266 Å с наибольшими силами осцилляторов [4], оканчивающихся соответственно на 3P_2 - и 3P_0 -уровнях.

В условиях малых давлений и электронных токов уравнение баланса для метастабильного уровня m в стационарном режиме имеет вид

$$N_0 n_e v Q_{0m}(v) + \sum_{l=m+1}^{\infty} N_l A_{lm} = \frac{1}{\tau} N_m \quad (1)$$

где $Q_{0m}(v)$ — искомое сечение уровня m , зависящее от скорости электронов v ; N_0 , N_m , n_e — концентрации нормальных и метастабильных атомов и электронов в пучке соответственно; τ — время жизни метастабилей, обусловленное всеми процессами их разрушения при данных условиях эксперимента. Второе слагаемое в (1) описывает каскадное заселение уровня m с вышележащих уровней l . Отсутствие других процессов, вторичных по отношению к изучаемому, контролировалось сохранением линейных зависимостей величины поглощения от i и N_0 .

Время жизни метастабильного уровня мы измерили в отдельном эксперименте в тех же условиях и в той же трубке возбуждения методом сдвига фазы [5], и оно для наибольших из рабочей области давлений $P = (4-6) \cdot 10^{-2}$ мм рт. ст. для обоих метастабильных уровней составило $\tau = 4.5 \cdot 10^{-5}$ с. Концентрацию метастабилей, как указано выше, находили из относительного поглощения, а остальные величины, входящие в (1), способами, описанными в [2, 3].

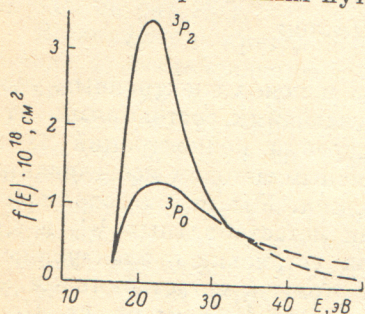
Из уравнения (1) и из соотношения между концентрацией и относительным поглощением A [6] имеем выражение для сечения через измеряемые величины

$$Q_{0m}(v) = \left[A \frac{mc\Delta\nu_D}{e^2 \sqrt{2\pi} \ln 2 fL} \frac{1}{\tau} - \sum_{l=m+1}^{\infty} N_l A_{lm} \right] \frac{1}{N_0 n_e v} \quad (2)$$

Необходимость проведения эксперимента в условиях малых давлений и электронных токов создает трудности в определении величин A , так как последние оказываются весьма малыми, а именно, составляют доли процента. Для повышения надежности и точности определения таких величин поглощения проводились многократные измерения. Каждая точка на кривых функций возбуждения $f(v) = Q_{om}(v)/Q_{om\max}$ есть результат усреднения 20—30 данных, полученных в разных опытах при варьировании условий эксперимента, а эти данные в свою очередь являются результатом N -кратного измерения величины A в каждой серии; N в среднем составляет 50—60 измерений.

В результате для величин сечений в максимумах $f(v)$ мы получили следующие результаты: $Q^3P_2 = 3.4 \cdot 10^{18} \text{ см}^2$, $Q^3P_0 = 1.3 \cdot 10^{18} \text{ см}^2$.

Зависимости сечений от энергии электронов были исследованы наиболее подробно в области максимума кривых от порога возбуждения до ~ 30 эВ. При больших энергиях электронов на кривых наблюдался подъем, который связан с каскадным заселением метастабилей из $2p^3P$ -уровней. Учет каскада производился расчетным путем по исследованным нами сечениям возбуждения вышележащих уровней и известным вероятностям переходов для них [4]. Исправленные на каскады функции возбуждения метастабильных 3P_2 - и 3P_0 -уровней представлены на рисунке. Данные по функциям возбуждения метастабилей неона имеются в работах Милатца



Функции возбуждения метастабильных уровней 3P_2 и 3P_0 атома неона.

и Ортштейна [7] и Доррштейна [8], выполненных еще в 30—40-е годы. Доррштейном [8] была измерена лишь суммарная $f(v)$ для обеих 3P_2 - и 3P_0 -уровней методом вырывания вторичных электронов. Им получена кривая с широким максимумом при 30 эВ. Она отражает совокупность процессов прямого возбуждения и каскадного заселения, причем последние использованный метод учесть не позволяет. Отметим, что в более поздней работе [9], выполненной также методом вырывания вторичных электронов для припороговой области энергий до 24 эВ основной максимум, так же как в нашей работе и в [7], расположен при 20—22 эВ.

Интересно сопоставить наши результаты с функцией возбуждения 3P_2 -уровня, измеренной Милатцем и Ортштейном методом поглощения. Сопоставление показывает, что вид кривых схож, но в [7] завышены значения $f(v)$ при больших энергиях электронов, что обусловлено каскадными переходами. Кроме того, в [7] измерения проводились при слишком высоких токах электронов (2А), при которых, как показывают наши оценки, возможно появление вторичных процессов, искажающих вид $f(v)$.

Абсолютные значения в [7—9] не измерялись. Наш результат по абсолютным сечениям Q_{om} согласуется с данными Майер—Лейбница [10]: $Q = 6.7 \times 10^{18} \text{ см}^2$ для припороговой области энергии электронов, полученными методом диффузии рассеянных электронов в 1935 г.

В тезисах двух докладов [11, 12] XII Международной конференции по физике электронно-атомных столкновений приведены данные по возбуждению метастабильных состояний неона, полученные методами время-пролетной техники для суммы метастабильных уровней [11] и лазерной флуоресценции [12]. Результаты [11, 12] хорошо согласуются с нашими данными. Отметим, что в [12] также отмечается большой вклад каскадных процессов в заселении 3P_2 - и 3P_0 -уровней неона.

В заключение благодарим В. Орлова за помощь в проведении эксперимента.

Литература

- [1] Н. П. Пенкин, А. А. Митюрева. В. сб.: Тр. V ВШФЭАС, ч. II, 84, Тбилиси, 1982.
- [2] Н. П. Пенкин, А. А. Митюрева, Е. Р. Жежерина. Опт. и спектр., 29, 637, 1970.
- [3] А. А. Митюрева, Н. П. Пенкин. Вестн. ЛГУ, № 4, 110, 1981.
- [4] W. L. Wiese, M. W. Smith, B. M. Glennon. Atomik Transition Probabilities. NBS, Washington, 1966.
- [5] В. В. Смирнов, А. А. Митюрева. Опт. и спектр.
- [6] Спектроскопия газоразрядной плазмы. Под ред. С. Э. Фриша, 35. Наука, 1970.
- [7] J. M. W. Milatz, L. S. Ornstein. Physica, 2, 355, 1935.
- [8] R. Dorrestein. Physica, 9, 433, 1942.
- [9] J. Olmsted, A. S. Newton K. Street. J. Chem. Phys., 42, 2321, 1965.
- [10] Н. Маиер-Лейбниц. Zs. f. Phys., 95, 499, 1935.
- [11] P. J. O. Teubner, J. L. Riley, M. C. Tonkin, J. E. Furst, S. J. Buckman. In: XII ICPEAC, v. 1, 153, Ocridge, 1981.
- [12] M. H. Phillips, R. E. Miers, L. W. Anderson, C. C. Lin. In: XII ICPEAC, v. 1 160, Ocridge, 1981.

Поступило в Редакцию 17 августа 1982 г.

УДК 535 : 539.238

О ПРИМЕНЕНИИ ПОВЕРХНОСТНЫХ ПЛАЗМЕННЫХ ВОЛН ДЛЯ ИЗУЧЕНИЯ АДсорбЦИОННЫХ ПРОЦЕССОВ

А. А. Тищенко и А. К. Никитин

В настоящей работе для изучения адсорбционных процессов на металлических поверхностях был использован метод резонансного возбуждения ТМ-поляризованной электромагнитной волной поверхностных плазменных волн (ППВ) на границе раздела металл-диэлектрик [1]. В статье приведены результаты исследований адсорбции аргона, монооксида углерода и кислорода на серебряной пленке методом ППВ на длине волны возбуждающего излучения $\lambda = 632.8$ нм.

Дисперсионное уравнение ППВ для случая тонких адсорбционных слоев ($|k_x d_2| \ll 1$) и металлов с диэлектрической проницаемостью $\epsilon_1 = \epsilon'_1 + j\epsilon''_1$, удовлетворяющей условию $\epsilon''_1 \ll |\epsilon'_1|$, при наличии на металлической пленке слоя адсорбата толщиной d_2 (см. рисунок) приведено в работе [2]. Используя это дисперсионное уравнение, можно, задавая толщину слоя адсорбата d_2 , вычислять его эффективную диэлектрическую проницаемость ϵ_2 , и наоборот. Проведенные вычисления для монооксида углерода с $\epsilon_2 = 6.0 + j 3.3$ показали, что для $d_2 = 0.5$ нм изменение значения волнового вектора ППВ составляет величину $\Delta k_x = 2.4 \cdot 10^{-2} + j 3.10^{-3}$. Поскольку выполняются соотношения [3]

$$\operatorname{Re}(k_x) = \frac{\omega}{C_1} n_3 \sin \theta_0,$$

$$\operatorname{Im}(k_x) = \frac{\omega}{C} n_3 \cos \theta_0 \cdot \Delta \theta_{0.5},$$

где n_3 — показатель преломления призмы, θ_0 — резонансный угол возбуждения ППВ, а экспериментально измеряемый угол выхода излучения из призмы α связан с углом падения излучения на основание призмы θ соотношением

$$n_3 \sin(\theta - \beta) = \sin \alpha,$$

где β — внутренний угол призмы, то действительная часть Δk_x соответствует изменению резонансного угла возбуждения ППВ $\Delta \theta \simeq 0.2$ град, а мнимая — изменению угловой ширины резонансного провала на величину $\Delta \theta_{0.5} \simeq 10^{-2}$ град.